

机器人控制系统中的部分计算力矩法

陈明哲 张启先

【摘要】本文在机器人系统中引进了新的 Hamilton 函数，从而简洁地导出非线性方程组的偏差方程组。然后根据新 Hamilton 函数正定条件确定增益矩阵的值。证明了偏差方程组在 Lyapunov 意义下是渐近稳定的。从偏差方程组导出了新的控制方案。新方案只须部分计算力矩，从而便于微处理机实时控制。而且新方案是解耦控制，因此结构简单，在技术上易于实现。计算机仿真结果表明：新的控制方案在手部匀速运动时，不必加加速度反馈；在手部加速运动时，须加上加速度反馈；并且在一定的初始扰动下，控制系统是稳定的。

一、引言

目前建立机器人动力学方程主要有三种方法：第二类Lagrange方程法⁽¹⁾，Newton-Euler法⁽²⁾和Gauss法⁽³⁾。由于机器人动力学方程的强非线性，使得机器人控制系统的设 计成为很棘手的问题。许多文献探讨了这个问题，如：文献^(1, 4)用经典控制方法，并且用了许多补偿量，交叉反馈等使系统达到预期效果。文献⁽⁵⁾提出了计算力矩法，也就是对整个动力学方程进行计算，将计算结果作为补偿量。实质上，这种方法是一种线性化方法。由于动力学方程的复杂性，使得计算机的在线计算比较困难，因而使机器人的实时控制变为不可能，至少在低档计算机（如微处理机）上不可能。于是就出现了一些动力学方程的简化计算方案，如文献⁽⁶⁾等。文献⁽⁷⁾用现代控制论方法处理了机器人的控制问题。主要是先计算整个动力学方程作为补偿量，然后用分散控制方法设计各子系统，用分解——集结方法讨论系统的稳定区域，将控制量分为局部量与整体量，用整体控制来协调各子系统的动作。由于上述方法也须对整个动力学方程进行计算，计算量也是很大的。文献⁽⁸⁾提出了改变系统Hamilton函数的控制方法。由于只改变了系统的势能，我们用文献⁽⁸⁾的方法作系统仿真，结果并不理想。文献^(1, 4, 7)所用的方法都是基于作动器模型的，文献⁽⁸⁾是基于系统模型的。由于作动器方程是常系数线性微分方程，因此用文献⁽⁸⁾的方法研究系统，考虑作动器的效应也是比较简单的，本文暂不作介绍。此外还有一些其他控制方法：变结构方法⁽⁹⁾，非线性反馈方法⁽¹⁰⁾，模型参考自适应方法⁽¹¹⁾，使用加速度计与力传感器的控制方法⁽¹²⁾，使机器人具有依从性的混合控制方法⁽¹³⁾，运动学控制方法⁽¹⁴⁾等等。在控制信号产生方面的研究有文献^(3, 5, 15, 16)等。

本文推广了文献⁽⁸⁾中的方法，导出了一种新的、实用的控制方案。在理论上引进了新的Hamilton函数，简洁地导出非线性方程组的偏差方程组，这些结果对其他非线性控制系统的设 计也有一定的意义。

二、部分计算力矩法

我们先用 Hamilton 正则方程写出机器人动力学方程如下：

$$\dot{q} = \left(\frac{\partial H_1}{\partial P_1} \right)^T \quad (1)$$

$$\dot{P}_1 = - \left(\frac{\partial H_1}{\partial q} \right)^T + u_0 \quad (2)$$

式中

Hamilton 函数 $H_1 = T - V$

动能 $T = \frac{1}{2} \dot{q}^T A(q) \dot{q}$, $A(q)$ 为对称正定矩阵

V 为势能

$$\text{广义动量 } P_1 = \left(\frac{\partial T}{\partial \dot{q}} \right)_*^T - V(q) \dot{q}$$

u_0 为广义力矢量

然后，我们对系统引进新的非明显形式 Hamilton 函数 H_2 ：

$$H_2 = T - T_* - \left(\frac{\partial T}{\partial y} \right)_* \cdot y - \dot{q}_*^T A(q) \dot{y} + \frac{1}{2} \dot{y}^T K_1 \dot{y} \\ + V - V_* - \left(\frac{\partial V}{\partial y} \right)_* \cdot y + \frac{1}{2} y^T K_2 y \quad (3)$$

式中

$$y = q - q_*, \quad \dot{y} = \dot{q} - \dot{q}_*$$

q_* , \dot{q}_* 分别为广义坐标和广义速度的给定值；带星号的如 T_* 等均为给定值，以下同此。

K_1 , K_2 为对称正定增益矩阵。

据我们所知，式 (3) 中 $\dot{q}^T A(q) \dot{y}$ 项从未在分析力学文献中出现过，我们称之为拟动能。

新系统的广义动量 P_2 ：

$$P_2 = \left(\frac{\partial T}{\partial y} \right)_*^T - A(q) \cdot \dot{y} + K_1 \dot{y} = A(q) \cdot (\dot{y} + \dot{q}_*) - A(q) \dot{q}_* + K_1 \dot{y} \\ = [A(q) + K_1] \dot{y} \quad (4)$$

令 $A(q) + K_1 = C_1$ ，从式 (4) 可得

$$\dot{y} = C_1^{-1} \cdot P_2 \quad (5)$$

由此可以得出

$$\left(\frac{\partial H_2}{\partial P_2} \right)^T = (C_1^{-1})^T \cdot \left(\frac{\partial T}{\partial y} \right)_*^T - (C_1^{-1})^T A(q) \dot{q}_* + (C_1^{-1})^T K_1 \dot{y} \\ = (C_1^{-1})^T \cdot \dot{y} \quad (6)$$

式 (6) 也说明了函数 H_2 是完全定义的。

正则方程的另一半为

$$\dot{P}_2 = - \left(\frac{\partial H_2}{\partial y} \right)^T + u \quad (7)$$

因此，新系统的正则方程为

$$\begin{aligned}\dot{y} &= \left(\frac{\partial H_2}{\partial P_2} \right)^T \\ \dot{P}_2 &= - \left(\frac{\partial H_2}{\partial y} \right)^T + u_1\end{aligned}\quad (8)$$

式(8)的左边是原系统变量与给定值的偏差。我们在原系统中引进新 Hamilton 函数后，很简洁地得到非线性方程组的偏差方程组，并且这个偏差方程组不同于将非线性方程组线性化以后（所谓一次近似）的偏差方程组。

下面来推导，通过 K_1, K_2 矩阵的适当取值，我们可以使 H_2 函数正定且在给定值处有极小值。

$$\text{显然 } H_{2*} = 0 \quad (9)$$

$$\text{从式(6)可知 } \left(\frac{\partial H_2}{\partial P_2} \right)_*^T = 0 \quad (10)$$

$$\text{从式(3)可得 } \left(\frac{\partial H_2}{\partial y} \right)_*^T = 0 \quad (11)$$

而从式(6)可得

$$\left(\frac{\partial^2 H_2}{\partial P_2^2} \right)_* = (C_1^{-1})_* \quad (12)$$

$$\left(\frac{\partial^2 H_2}{\partial P_2 \partial y} \right)_* = 0 \quad (13)$$

从式(3)可得

$$\left(\frac{\partial^2 H_2}{\partial y^2} \right)_* = \left(\frac{\partial^2 T}{\partial y^2} \right)_* + \left(\frac{\partial^2 V}{\partial y^2} \right)_* + K_2 \quad (14)$$

设由式(12) (13) (14) 组成的矩阵为 W ，即

$$W = \begin{pmatrix} \left(\frac{\partial^2 H_2}{\partial y^2} \right)_* & 0 \\ 0 & \left(\frac{\partial^2 H_2}{\partial P_2^2} \right)_* \end{pmatrix} \quad (15)$$

因此 H_2 函数正定且在给定值处有极小值的必要条件为式(9) (10) (11)，另一必要条件为 W 矩阵的对角元素 W_{ii} 大于零，即

$$W_{ii} > 0 \quad (16)$$

而充分条件是 W 矩阵的主子行列式大于零，即

$$|W_{ii}| > 0 \quad (i = 1, 2, \dots, n) \quad (17)$$

据式(16) (17)，我们可以确定矩阵 K_1, K_2 的值，从而保证 H_2 函数上述性质。

现在我们选正定函数 H_2 为系统的 Lyapunov 函数，且令 $u_1 = -K_2 y$ ，这里 K_2 为正对角矩阵，则

$$\begin{aligned}\dot{H}_2 &= \left(\frac{\partial H_2}{\partial y} \right) \dot{y} + \left(\frac{\partial H_2}{\partial P_2} \right) \dot{P}_2 = \left(\frac{\partial H_2}{\partial y} \right) \left(\frac{\partial H_2}{\partial P_2} \right)^T - \left(\frac{\partial H_2}{\partial P_2} \right) \left(\frac{\partial H_2}{\partial y} \right)^T - \left(\frac{\partial H_2}{\partial P_2} \right) K_2 \dot{y} \\ &= -\dot{y}^T K_2 \dot{y}\end{aligned}\quad (18)$$

从式(18)可知 \dot{H}_2 为负定函数，因此推得系统在 $(y = 0, P_2 = 0)$ 点处，即在 $(q = q_*, q = q_*)$ 点处是渐近稳定的。

如文献⁽⁸⁾所指出的，新系统(8)在下述性能指标下也是最优的

$$\Lambda = \int_{t_0}^{\tau} \frac{1}{2} (\dot{y}^T K_s \dot{y} + u_1^T K_s^{-1} u_1) dt \quad (19)$$

将式(19)改写为

$$\Lambda(t) = \int_{t_0}^{\tau} \frac{1}{2} (\dot{y}^T K_s \dot{y} + u_1^T K_s^{-1} u_1) d\tau \quad (20)$$

若系统为最优控制系统，则 Λ 应满足Hamilton-Jacobi方程⁽¹⁷⁾，即

$$\begin{aligned} -\frac{\partial \Lambda}{\partial t} &= \min_{u_1} \left[\frac{1}{2} (\dot{y}^T K_s \dot{y} + u_1^T K_s^{-1} u_1) + \left(\frac{\partial \Lambda}{\partial y}, \frac{\partial \Lambda}{\partial P_2} \right) \left(\begin{array}{c} \dot{y} \\ P_2 \end{array} \right) \right] \\ &= \min_{u_1} \left[\frac{1}{2} (\dot{y}^T K_s \dot{y} + u_1^T K_s^{-1} u_1) + \left(\frac{\partial \Lambda}{\partial y} \right)^T \left(\frac{\partial H_1}{\partial P_2} \right)^T - \left(\frac{\partial \Lambda}{\partial P_2} \right) \left(\frac{\partial H_1}{\partial y} \right)^T \right. \\ &\quad \left. + \left(\frac{\partial \Lambda}{\partial P_2} \right) u_1 \right] \end{aligned} \quad (21)$$

从式(21)右边可求得

$$u_1 = -K_s \left(\frac{\partial \Lambda}{\partial P_2} \right)^T \quad (22)$$

将式(22)代入式(21)，可以看出若 $\Lambda = H_1$ ，则式(20)(21)均成立。因此

$$u_1 = -K_s \left(\frac{\partial \Lambda}{\partial P_2} \right)^T = -K_s \dot{y}$$

为指标(19)下的最优控制。

现在我们来看一下新系统与原系统之间的关系。将式(7)展开后，得

$$\begin{aligned} \dot{P}_1 - \dot{A}(q) \dot{q}_* + K_1 \ddot{y} &= -\left(\frac{\partial H_1}{\partial q} \right)^T + \left(\frac{\partial T}{\partial y} \right)_*^T + \left(\frac{\partial V}{\partial y} \right)_*^T - 2 \cdot \left(\frac{\partial T}{\partial q} \right)^T \\ &\quad + \dot{q}^T \hat{A}_s \dot{y} - K_s \dot{y} - K_1 \ddot{y} \end{aligned} \quad (23)$$

式中

$$\dot{q}^T \hat{A}_s \dot{y} \triangleq \begin{pmatrix} \dot{q}^T A_s^{-1} \dot{y} \\ \dot{q}^T A_s^{-1} \dot{y} \\ \vdots \\ \dot{q}^T A_s^{-1} \dot{y} \end{pmatrix} \quad A_i^T = \frac{\partial A(q)}{\partial y^i}, \quad (i=1, 2, \dots, n)$$

式(23)可进一步整理为

$$\begin{aligned} \dot{P}_1 &= -\left(\frac{\partial H_1}{\partial q} \right)^T + \left(\frac{\partial T}{\partial y} \right)_*^T + \left(\frac{\partial V}{\partial y} \right)_*^T + [\dot{A}(q) \dot{q}_* - 2 \left(\frac{\partial T}{\partial q} \right)^T] \\ &\quad - K_1 \ddot{y} + (\dot{q}^T \hat{A}_s - K_s) \dot{y} - K_1 \ddot{y} \end{aligned} \quad (24)$$

比较式(2)与(24)，可以知道我们要加的控制项 u_0 如下：

$$u_0 = \left(\frac{\partial T}{\partial y} \right)_*^T + \left(\frac{\partial V}{\partial y} \right)_*^T + [\dot{A}(q) \dot{q}_* - 2 \left(\frac{\partial T}{\partial q} \right)^T] - K_1 \ddot{y} + (\dot{q}^T \hat{A}_s - K_s) \dot{y} - K_1 \ddot{y} \quad (25)$$

也就是说在原系统中加上 u_0 以后，原系统就变为新系统，并且具有上面推导的所有性质。

u_0 还可以进一步简化。因为 $\left[\dot{A}(q) \dot{q}_0 - 2 \left(\frac{\partial T}{\partial q} \right)^T \right]$ 的值较小，可略去不计。而当我们选择 $K_s > -\dot{q}^T \hat{A}$ 时， u_0 可以用下式代替

$$u_0 = \left(\frac{\partial T}{\partial y} \right)_0^T + \left(\frac{\partial V}{\partial y} \right)_0^T - K_2 y - K_3 \dot{y} - K_4 \ddot{y} \quad (26)$$

即 $u_0 = \left(\frac{\partial T}{\partial y} \right)_0^T + \left(\frac{\partial V}{\partial y} \right)_0^T - K_2(q - q_*) - K_3(\dot{q} - \dot{q}_*) - K_4(\ddot{q} - \ddot{q}_*) \quad (27)$

式 (27) 就是部分计算力矩法控制方案，在这里我们只须部分计算力矩 $\left(\frac{\partial T}{\partial y} \right)_0^T$ 和 $\left(\frac{\partial V}{\partial y} \right)_0^T$ 项作为补偿量。计算机仿真结果表明， $\left(\frac{\partial T}{\partial y} \right)_0^T$ 值比较小，略去后对系统没有什么影响，并且当手部匀速运动时，不必加加速度反馈项。因此，我们有下列两种控制方案

$$u_0 = \left(\frac{\partial V}{\partial y} \right)_0^T - K_2(q - q_*) - K_3(\dot{q} - \dot{q}_*) \quad (28)$$

$$u_0 = \left(\frac{\partial V}{\partial y} \right)_0^T - K_2(q - q_*) - K_3(\dot{q} - \dot{q}_*) - K_4(\ddot{q} - \ddot{q}_*) \quad (29)$$

式 (28) 适用于手部匀速运动的系统，式 (29) 适用于手部加速运动的系统。

三、计算机仿真结果

仿真结果表明（不另作图说明）， K_1 、 K_2 、 K_3 矩阵采用非对角矩阵并没有使控制结果得到改善，因此我们对 K_1 、 K_2 、 K_3 矩阵一律采用对角矩阵。另外我们不考虑采样频率对系统的影响，认为采样频率是足够高的，比如说，认为采样周期小于 50mS。

下面对图 1 所示平面三自由度机器人作仿真研究，该机器人的动力学方程如下：

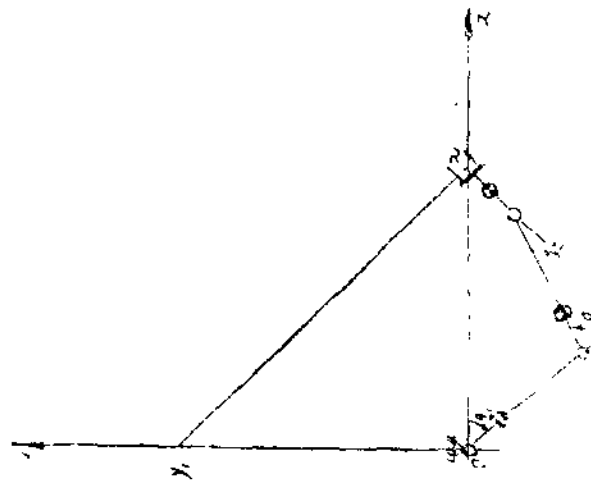


图 1

$$\begin{aligned} a_1 \ddot{q}_1 + b_1 [(\ddot{q}_1 + \ddot{q}_2) C q_2 - (\dot{q}_1 + \dot{q}_2)^2 S q_2] + C_1 [(\ddot{q}_1 + \ddot{q}_2 + \ddot{q}_3) C (q_2 + q_3) - (\dot{q}_1 + \dot{q}_2 + \dot{q}_3)^2 S (q_2 + q_3)] + d_1 C q_1 + u_{0,1} &= u_{0,1} \\ a_2 (\ddot{q}_1 + \ddot{q}_2) + b_2 (\dot{q}_1 C q_2 + \dot{q}_1^2 S q_2) + C_2 [(\ddot{q}_1 + \ddot{q}_2 + \ddot{q}_3) C q_3 - (\dot{q}_1 + \dot{q}_2 + \dot{q}_3)^2 S q_3] + d_2 C (q_1 + q_2) + u_{0,2} &= u_{0,2} \end{aligned}$$

$$a_3(\ddot{q}_1 + \ddot{q}_2 + \ddot{q}_3) + b_3[\ddot{q}_1 C(q_1 + q_2) + \dot{q}_1^2 S(q_1 + q_2)] + C_3[(\ddot{q}_1 + \ddot{q}_2)Cq_3 + (\dot{q}_1 + \dot{q}_2)\dot{S}q_3] + d_3C(q_1 + q_2 + q_3) = u_{03} \quad (30)$$

式中

$$a_1 = m_1(h_1 - l_1)^2 + J_1 + m_2h_1^2 + m_3h_1^2$$

$$b_1 = m_2h_1(h_2 - l_2) + m_3h_1h_2$$

$$c_1 = m_3h_2(h_3 - l_3)$$

$$d_1 = m_1g(h_1 - l_1) + m_2gh_1 + m_3gh_1$$

$$a_2 = m_2(h_2 - l_2)^2 + m_3h_2^2 + J_2$$

$$b_2 = m_2h_2(h_3 - l_3) + m_3h_2h_3$$

$$c_2 = m_3h_3(h_3 - l_3)$$

$$d_2 = m_2g(h_2 - l_2) + m_3gh_2$$

$$a_3 = m_3(h_3 - l_3)^2 + J_3$$

$$b_3 = m_3h_3(h_3 - l_3)$$

$$c_3 = m_3h_3(h_3 - l_3)$$

$$d_3 = m_3g(h_3 - l_3)$$

S 表示正弦、 C 表示余弦； u_{0i} 表示各杆的广义力； m_i 表示各杆的质量； J_i 表示各杆绕质心的转动惯量，($i = 1, 2, 3$)； g 表示重力加速度。这里 $h_1 = h_2 = 0.43$, $h_3 = 0.2$, $l_1 = l_2 = 0.3$, $l_3 = 0.1$ (以上单位为m)； $m_1 = 22$, $m_2 = 14$, $m_3 = 8$ (以上单位为kg)； $J_1 = 1.2$, $J_2 = 0.7$, $J_3 = 0.2$ (以上单位为 kgm^2)； $g = 9.8 \text{m/s}^2$ 。

要求机器人手部中心沿直线 x_1y_1 运动，从点 $x_1(0.8, 0)$ 至点 $y_1(0, 0.8)$ ，并且手部始终垂直于直线 x_1y_1 。运动规律为：1. 匀速运动，4秒钟走完全程，初始值为 $q_1 = -0.88$, $q_2 = -0.22$, $q_3 = 1.34$, $q_1 = 0.89$, $q_2 = 0.33$, $q_3 = -0.67$ ；2. 匀加速运动，1秒钟走完全程，初始值为 $q_1 = -0.88$, $q_1 = 0.0$, $q_2 = 1.34$, $q_2 = 0.0$, $q_3 = 0.33$, $q_3 = 0.0$ 。图 2、3、4 为匀速运动仿真的结果。图中未标数字的实线为给定值 q_i 曲线，标数字的曲线分别表示以下各控制方案：

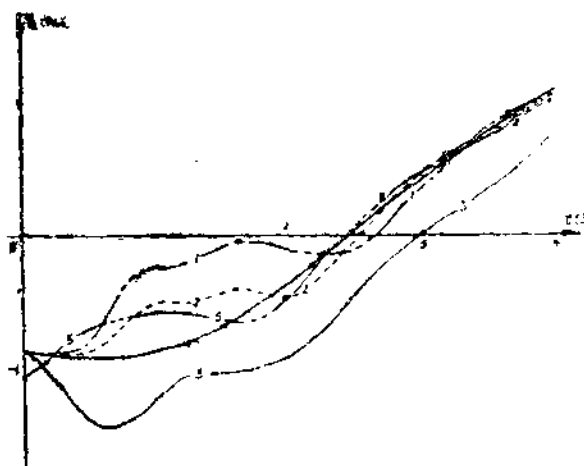


图 2

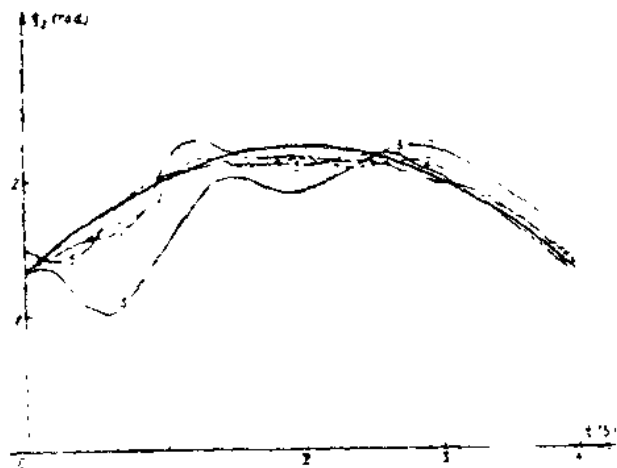


图 3

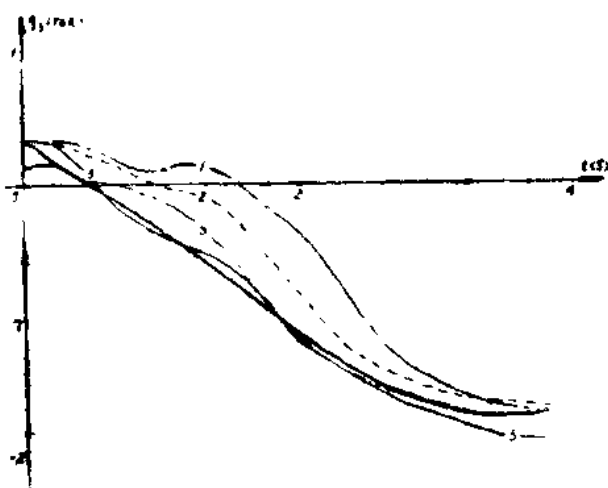


图 4

$$(1) \dot{u}_3 = \left(\frac{\partial V}{\partial y} \right)_3^T - K_1(q - q_s) - K_3 \dot{q}$$

$$K_1 = \text{diag}(200, 180, 30)$$

$$K_3 = \text{diag}(10, 10, 10)$$

(2) \dot{u}_3 同 (1)，只是 $K_1 = \text{diag}(230, 150, 40)$ ，

$$K_3 = \text{diag}(10, 10, 10)$$

(3) $\dot{u}_3 = -K_2(q - q_s) - K_3 \dot{q}$ ， K_2 、 K_3 的值同 (2)

(4) $\dot{u}_3 = \left(\frac{\partial V}{\partial y} \right)_3^T - K_1(q - q_s) - K_3(\dot{q} - \dot{q}_s)$ ， K_1 、 K_3 的值同 (2)，因为仿真结果与给定值几乎重合，图上不再画出；

(5) \dot{u}_3 同 (4)，但初始值改为 $q_1 = -1.08$ ， $\dot{q}_1 = -0.4$ ， $q_2 = 1.54$ ， $\dot{q}_2 = 1.09$ ， $q_3 = 0.13$ ， $\dot{q}_3 = -0.87$ 。

(1) (2) 为文献⁽⁸⁾所提出的方案；(2) 方案控制得较好；(3) 方案无补偿量，系统失

控; (4) 方案控制得最好; (5) 表示系统的抗初始扰动的能力。

图 5、6、7 为匀加速运动仿真的结果。图中未标数字的曲线为 q_* 曲线，标数字曲线分别表示以下各控制方案：

$$(1) u_4 = \left(\frac{\partial V}{\partial y} \right)_*^T - K_4(q - q_*) - K_3(\dot{q} - \dot{q}_*),$$

$$K_4 = \text{diag}(230, 150, 40),$$

$$K_3 = \text{diag}(10, 10, 10);$$

$$(2) u_4 = \left(\frac{\partial V}{\partial y} \right)_*^T - K_4(q - q_*) - K_3(\dot{q} - \dot{q}_*) - K_1(\ddot{q} - \ddot{q}_*)$$

$$K_4 = \text{diag}(230, 150, 40),$$

$$K_3 = \text{diag}(25, 20, 10),$$

$$K_1 = \text{diag}(25, 20, 10);$$

$$(3) u_4 \text{ 同 (2), 只是没有补偿量 } \left(\frac{\partial V}{\partial y} \right)_*^T,$$

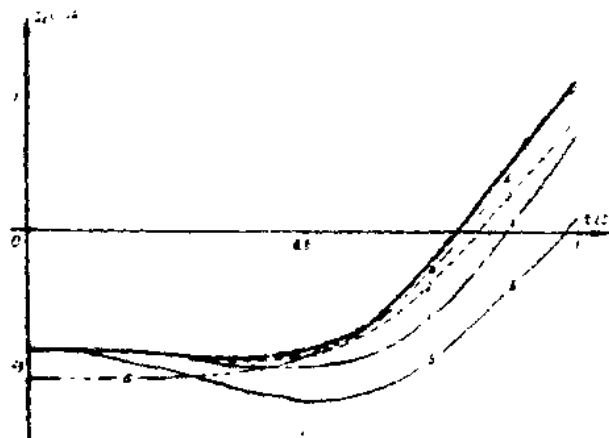


图 5

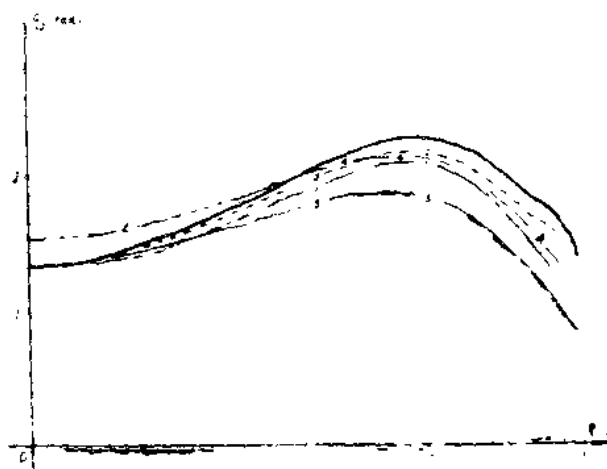


图 6

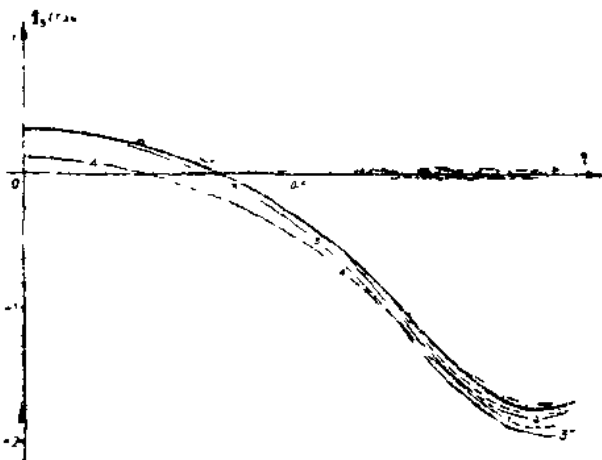


图 7

(4) u_0 同 (2), 但初始值改为 $q_1 = -1.08$, $q_2 = 0.0$, $q_3 = 1.54$, $q_4 = 0.0$, $q_5 = 0.13$, $q_6 = 0.0$ 。

(2) 方案控制得较好; (1) (8) 方案, 系统失控; (4) 表示系统的抗初始扰动的能力。

参 考 文 献

- [1] Paul R. P. Robot Manipulators, The MIT Press 1982
- [2] Vukobratovic M. Dynamics of Manipulation Robots, Springer-Verlag, 1982
- [3] Попов Е. П. и др. Манипуляционные роботы, «Наука» М. 1978
- [4] Luh J. Y. S. IEEE Trans. SMC13, 3, (1983)
- [5] Luh J. Y. S. et al, IEEE Trans. AC25, 3, (1980)
- [6] Luh J. Y. S. et al, Trans. ASME J. of DSMC, (1980)
- [7] Vukobratovic M. Control of Manipulation Robots Springer-Verlag, 1982
- [8] Takengaki M. et al, Trans ASME J. of DSMC, V103, 2 (1981)
- [9] Young K. K. D. IEEE Trans. SMC 8, (1978)
- [10] Freund E. Proc. VII Int. sym. IR, Tokyo, 1977
- [11] Dubowsky S. et al, Trans ASME J. of DSMC, V101, 3 (1979)
- [12] Hewit R. J. MMT V. 16, 5, (1981)
- [13] Raibert H. M. et al, Trans ASME J. of DSMC, V103, 2, (1981)
- [14] Крутько П. Д. угр. Тех. Кн. 4 (1979) 6 (1981)
- [15] 张启先, 《机械工程学报》V.17 N.1 (1981)
- [16] Whitney D. E. IEEE Trans. MMS, V10, 2 (1969)
- [17] Anderson B. D. O. et al, LINEAR Optimal Control, Prentice-Hall, 1971